

## МЕТОДИ БІОФІЗИЧНИХ ДОСЛІДЖЕНЬ

УДК: 577.3:621.384.8

**ВОЗМОЖНОСТИ МЕТОДА ВТОРИЧНО-ИОННОЙ МАСС-СПЕКТРОМЕТРИИ  
ДЛЯ КОНТРОЛЯ ИММОБИЛИЗАЦИИ КРАСИТЕЛЕЙ  
В ЛИПИДНЫХ СЛОЯХ И ЛИПОСОМАХ**

**О.А. Боряк<sup>1</sup>, М.В. Косевич<sup>1</sup>, В.В. Чаговец<sup>1</sup>, В.С. Шелковский<sup>1</sup>, В.В. Орлов<sup>1</sup>,  
В.А. Караваевцев<sup>1</sup>, Г.П. Горбенко<sup>2</sup>, Е.А. Доманов<sup>2</sup>, В.В. Товстик<sup>2</sup>**

<sup>1</sup>Физико-технический институт низких температур им. Б.И. Веркина НАНУ, пр. Ленина, 47, Харьков, 61103,

<sup>2</sup>Харьковский национальный университет им.В.Н. Каразина, пл. Свободы, 4, Харьков, 61077

e-mail: boryak@ilt.kharkov.ua, mvkosevich@ilt.kharkov.itd

Поступила в редакцию 20 февраля 2005 г.

В рамках проблемы иммобилизации молекулярных компонентов биосенсоров предлагается масс-спектрометрический метод контроля иммобилизации красителей в липидных слоях и липосомах. Обосновывается критерий успешности включения красителей в липидный монослой на поверхности жидкой матрицы, состоящий в одновременном присутствии во вторично-ионных масс-спектрах системы пиков, соответствующих липидам и красителям. Предлагается методика идентификации липидов по их низкомолекулярным характеристическим фрагментам, которую можно внедрять на доступных аналитических приборах с ограниченным массовым диапазоном.

**КЛЮЧЕВЫЕ СЛОВА:** липиды, красители, иммобилизация, вторично-ионная масс-спектрометрия

Одним из важных этапов при конструировании биосенсоров является разработка методов иммобилизации молекулярных компонентов сенсоров [1]. Иммобилизация, обеспечивающая сохранение функциональной активности и доступности компонентов, обычно осуществляется в тонких пленках носителей или в липосомах [2]. Пленки формируют из высокомолекулярных полимеров, или путем самосборки слоев низкомолекулярных веществ, липидов, поверхностно-активных веществ (ПАВ).

Важным моментом таких разработок является наличие методов контроля эффективности иммобилизации рабочих компонентов биосенсоров. Одним из эффективных методов анализа поверхности является вторично-ионная масс-спектрометрия (ВИМС) [3, 4]. Классическая ВИМС позволяет исследовать монослои органических веществ на твердых поверхностях. Жидкостный вариант ВИМС (жВИМС) и методика с бомбардировкой быстрыми атомами (ББА) позволяют изучать пленки, образующиеся на поверхности жидкости (называемой в данном случае жидкой матрицей). Удары таких частиц вызывают распыление вещества преимущественно из поверхностного слоя (глубиной до 10 нм [3]) в ионизированном состоянии; ионы, регистрируемые в масс-спектрах, несут информацию о молекулярном составе поверхностного слоя.

Установлено, что такие компоненты некоторых типов биосенсоров, как красители и ферменты могут быть иммобилизованы в липидных слоях и липосомах. Липиды и ПАВ, используемые при конструировании липосом, способны образовывать монослои на поверхности воды и глицерина. Биологически активные вещества, обладающие так называемыми мембранотропными свойствами, могут встраиваться в такие слои. При иммобилизации в липосомах биологически-активные вещества могут включаться в оболочку, либо быть инкапсулированными внутри липосомы.

Ранее нами была разработана методика жВИМС исследований включения молекул мембранотропных фармакологических препаратов (антибиотиков агентов на основе катионных ПАВ) в липидные слои [5, 6]. Было показано, что при эффективном включении ПАВ в слои в масс-спектрах такого супрамолекулярного образования регистрируются пики ПАВ наряду с пиками липидов. Поскольку распыление вещества в условиях жВИМС происходит только из верхнего слоя образца, занятого в случае ПАВ тонкой органической пленкой, которая в некоторой степени экранирует находящийся под ней раствор [7-9], то растворенные вещества, находящиеся в объеме раствора, практически недоступны для распыления. В связи с этим можно считать, что отсутствие в масс-спектрах такой системы пиков, соответствующих некоторым компонентам раствора, свидетельствуют об отсутствии их включения в поверхностную липидную пленку.

Существенной методической проблемой приложения метода ВИМС к исследованию биомолекул является ограниченный диапазон масс (до 1000 Да), характерный для сравнительно простых и доступных приборов, использовавшихся ранее для анализа металлов и диэлектриков, причем не только в лабораторных, но и в производственных условиях. Здесь следует подчеркнуть, что новые масс-спектрометрические методы ионизации с электрораспылением из растворов и матрично-активированной лазерной десорбции-ионизацией (МАЛДИ), специально разработанные для изучения высокомолекулярных биополимеров [10, 11], неприменимы для интересующих нас объектов - пленок на поверхности жидкости. Методом электроспрей исследуются истинные растворы, дробящиеся до микрокапель, а методом МАЛДИ - твердые кристаллические образцы. Большой массовый диапазон в установках ВИМС, позволяющий регистрировать не только молекулярные ионы липидов, но и их ассоциаты с ионогенными веществами, достигается ценой существенного повышения стоимости прибора, что ограничено на этапе фундаментальных исследований. Для контроля компонентов биосенсоров в условиях промышленного производства желательны более доступные и дешевые приборы.

Преодолеть эти препятствия позволяет предложенная А. Беннингтоном [12] и Ш. Берграном [13] методика контроля состава образца на основании анализа не самих молекулярных ионов, а их характеристических фрагментов. Для реализации метода необходим выбор таких специфических, воспроизводимых в различных условиях, фрагментов - маркеров. В работе [12] было показано, что диагностическим фрагментом фосфолипидов можно считать фрагмент с  $m/z$  184 а.е.м., соответствующий фибратной головке липида. В работе [13] обсуждается состав аминокислотных остатков в ВИМС спектрах, отражающий состав пептидов плазмы крови. Отметим, что массы молекул красителей, используемых в некоторых видах биосенсоров, в частности в биосенсорах на глюкозу и pH, не превышают 900 Да, т. е. доступны для анализа на приборах среднего класса.

Целью данной работы явилась разработка ББА/ВИМС метода для исследования наличия красителей в липидные слои и липосомы в соответствии с оговоренным выше подходом.

## МАТЕРИАЛЫ И МЕТОДЫ

Масс-спектрометрические измерения проводились на двух типах установок. Измерения в режиме ББА выполняли на приборе МИ-1201Э (ПО "SELMI", Сумы, Украина). В качестве бомбардирующего газа использовали аргон с энергией первичного пучка 4,5 кэВ.

ВИМС эксперименты в режиме положительных и отрицательных ионов проводили на установке VG-ZAB-SEQ ("Micromass", Великобритания). Бомбардирующими ионами служили ионы цезия с энергией 30 кэВ.

В экспериментах по иммобилизации красителей использовали фосфолипиды: дипальмитоилфосфатидилхолин (ДПФХ) (рис. 1, а) и яичный фосфатидилхолин (ФХ). Яичный ФХ представляет собой смесь фосфолипидов, различающихся структурой жирнокислотных остатков [14], основным компонентом которой является пальмитоил-олеоил фосфатидилхолин (рис. 1, б). В состав пленок входит катионное поверхностно-активное вещество (ПАВ) цетавлон - цетилтриэтанамонии бромид (ЦТАБ), рис. 1, в. Структуры ряда красителей – производных имидазофеназина – показаны на рис. 2.

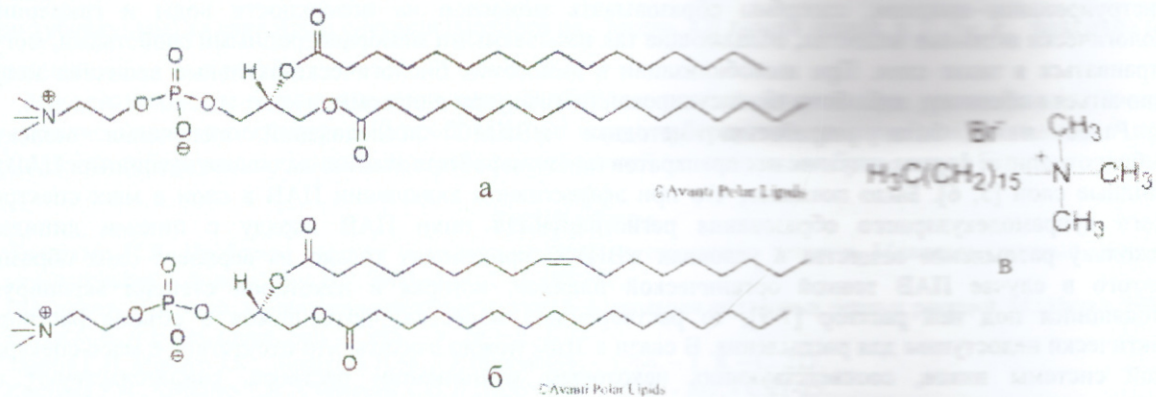
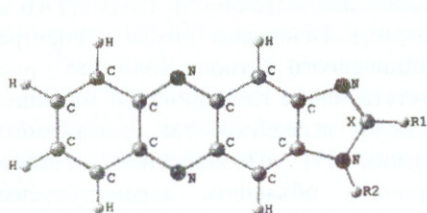


Рис. 1. Структурные формулы фосфолипидов (а) ДПФХ (м. в. 733,56 а.е.м.), (б) пальмитоил-олеоил ФХ (м. в. 759,58 а.е.м.) [14] и (в) ПАВ ЦТАБ (м. в. 364 а.е.м., масса катиона 284 а.е.м.).

## Возможности метода вторично-ионной масс-спектрометрии ...



Обозначение	Заместитель		Название
	X	R <sub>1</sub>	
iPhe	C	H	имидаzo-[4,5-d]-феназин
CH <sub>3</sub> -iPhe	C	CH <sub>3</sub>	2-метилимидаzo-[4,5-d]-феназин
CF <sub>3</sub> -iPhe	C	CF <sub>3</sub>	2-трифлюоридметилимидаzo-[4,5-d]-феназин
n-iPhe	N	-	1,2,3-триазол-[4,5-d]-феназин

Рис. 2. Структуры ряда красителей – производных имидазофеназина и триазолфеназина [16, 17].

Липосомы получали из ФХ и ЦТАБ в молярном соотношении 19:1, с использованием метода этапольной инжекции [15], общая концентрация компонентов в водном растворе составляла  $5 \cdot 10^{-3}$  моль $\cdot$ л $^{-1}$ .

Предполагается, что при смешении раствора липосом с глицериновой матрицей происходит раскрытие части липосом и выход их компонентов на поверхность жидкой матрицы. Соотношение мономеров на поверхности качественно соответствует составу липосом; вопрос о строгих количественных корреляциях на данном этапе не решен и требует дальнейших исследований.

В работе использовали ДПФХ и ЦТАБ производства фирмы "Sigma", яичный фосфатидилхолин производства "Биолек" (Харьков, Украина), глицерин производства "Reanal" (Венгрия).

Красители имидазофеназинового ряда были синтезированы [16] в Институте молекулярной биологии и генетики НАН Украины (Киев, Украина).

### РЕЗУЛЬТАТЫ И ОБСУЖДЕНИЕ

Были получены ББА и ВИМС масс-спектры индивидуальных компонентов исследуемых систем: липидов (ДПФХ, ФХ), ПАВ ЦТАБ, красителей, а также липосом и смесей красителей с ДПФХ и раствором липосом.

Вид контрольного жВИМС масс-спектра положительных ионов ДПФХ, представленного на рис. 3, совпадает с таковым, известным из литературных данных [5, 6]. Группа пиков молекулярного иона, показанная на рис. 3,б, содержит протонированный молекулярный ион  $M\cdot H^+$  ( $m/z$  734,6), изотопные пики с соответствующим распределением интенсивностей, а также пик иона на 1 а.е. меньше молекулярного, типичный для соединений, содержащих длинные углеводородные радикалы. В области средних масс регистрируются пики с  $m/z$  496 и 480, соответствующие фрагментации ДПФХ по эфирному участку, сопряженному с остатком пальмитиновой кислоты. В области малых масс присутствует отмеченный во введении характеристический фрагмент с  $m/z$  184, соответствующий полярной головке фосфолипида. Этот пик будет использоваться нами далее в качестве маркера наличия в поверхностном слое фосфолипида.

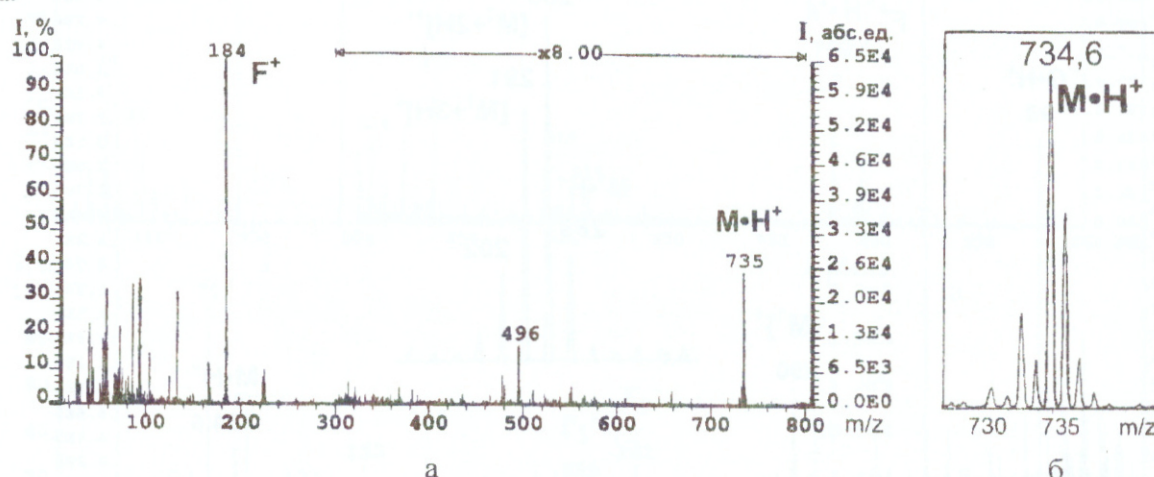
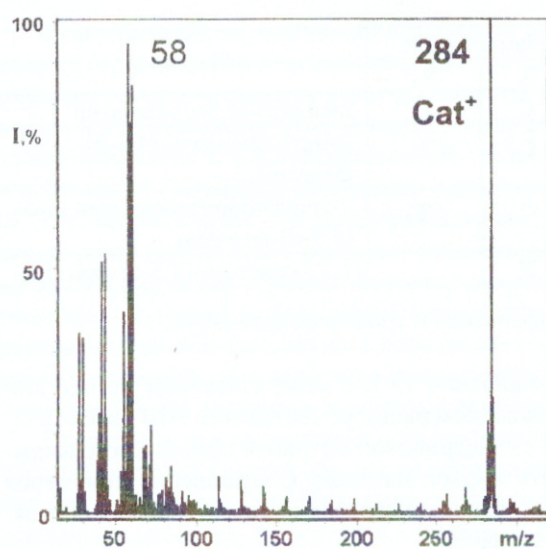


Рис. 3. ВИМС масс-спектр положительных ионов ДПФХ (M) в глицериновой матрице: а) большой массовый диапазон; F<sup>+</sup> - характеристический фрагмент, соответствующий полярной головке ДПФХ; б) увеличенный участок спектра, содержащий группу пиков молекулярного иона ДПФХ. (В оригинальных ВИМС масс-спектрах сохранена маркировка оси I, абс. ед., создаваемая программным обеспечением прибора VG-ZB-SEQ).



На рис. 4 показан ББА масс-спектр ПАВ ЦТАБ в глицериновой матрице. Основным пиком в спектре является пик органического катиона соли  $\text{Cat}^+$ ,  $m/z$  284. Пики, соответствующие глицериновой матрице, в спектре отсутствуют вследствие так называемого «эффекта подавления» [7]. «Подавление» сигналов растворителя принято объяснять экранирующим действием слоя ПАВ, образование которого на поверхности матрицы препятствует эффективному распылению жидкости бомбардирующими частицами [7-9]. В связи с этим полное отсутствие сигналов жидкой матрицы в масс-спектрах можно считать косвенным критерием формирования заполненного монослоя ПАВ на поверхности матрицы.

Рис. 4. ББА масс-спектр положительных ионов ЦТАБ в глицериновой матрице.  $\text{Cat}^+$  - органический катион соли.

ВИМС масс-спектры многих традиционных красителей были ранее хорошо изучены другими исследователями в работах [18-21]. Нами недавно начато исследование серии новых перспективных красителей - производных имидазофеназина. Детальное описание спектров индивидуальных красителей приведено в работе [17]. Красители, предназначенные для использования в качестве нидоптических красителей в биосенсорах, должны обладать определенными окислительно-восстановительными свойствами. Реакции восстановления красителей можно наблюдать в условиях вторично-ионной масс-спектрометрии [17-23]. Об осуществлении таких реакций свидетельствует появление в масс-спектрах характеристических пиков  $[\text{M} + n\text{H}]^+$ , ( $n = 2, 3$ ) [19-23]. На основании результатов этих исследований один из представителей производных имидазофеназина,  $\text{CF}_3\text{-iPhe}$ , был выбран как один из наиболее перспективных по своим физико-химическим параметрам для использования в биосенсорах [17, 24].

Далее нами были исследованы растворы смесей ряда красителей с ДПФХ. На рис. 5 представлен жВИМС масс-спектр положительных ионов системы, содержащей  $\text{CF}_3\text{-iPhe}$  ( $\text{M}^+$ ). Спектр содержит пики фосфолипида - молекулярный ион  $\text{M}^+\text{H}^+$ ,  $m/z$  734,6 и интенсивный диагностический фрагмент  $\text{F}^+$  с  $m/z$  184. Наряду с этими пиками в спектре присутствует группа пиков  $[\text{M}^+ + n\text{H}]^+$ , соответствующих красителю. Достаточно высокая интенсивность этих пиков, сравнимая с таковой молекулярного иона ДПФХ, свидетельствует об эффективном включении красителя в структуру поверхности липидного слоя.

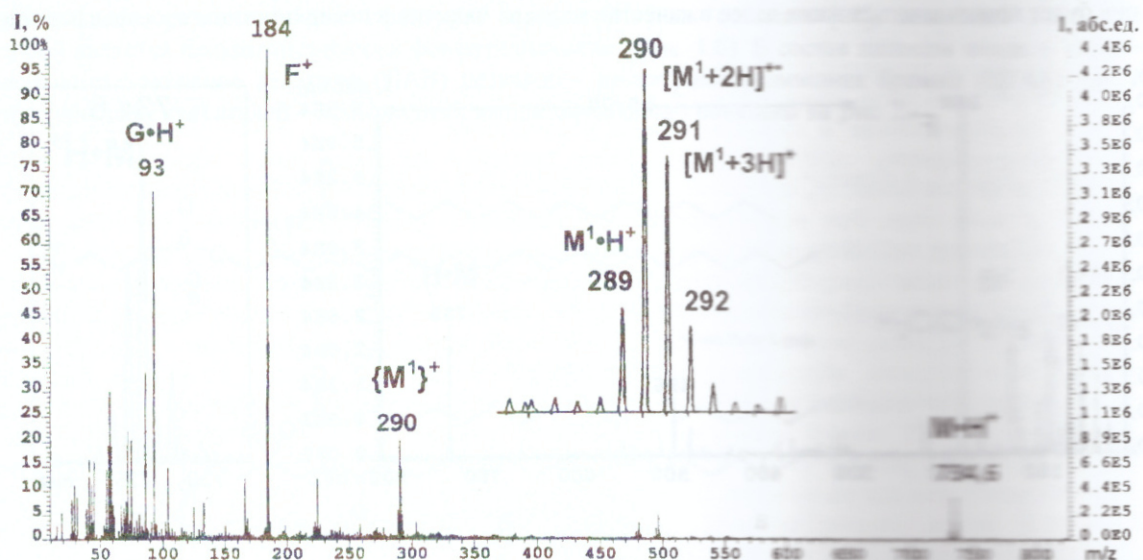


Рис. 5. ВИМС масс-спектр положительных ионов смеси ДПФХ ( $\text{M}$ ) с красителем  $\text{CF}_3\text{-iPhe}$  ( $\text{M}'$ ) в глицериновой (G) матрице. На вставке показан увеличенный фрагмент спектра, содержащий группу пиков  $[\text{M}^+ + n\text{H}]^+$ , соответствующих молекулярный ион красителя.

## Возможности метода вторично-ионной масс-спектрометрии ...

Очевидно, что для констатации наличия обоих компонентов в системе достаточно небольшого диапазона масс до 300 а.е., который содержит пики красителя и характеристического фрагмента ДПФХ.

Примечательно, что распределение пиков в группе  $[M^+ + nH]^+$  красителя в липидном слое (рис. 5) практически совпадает с распределением, характерным для спектров чистого красителя в глицериновой матрице [17]. Данный факт является косвенным свидетельством сохранения функциональной, в данном случае окислительно-восстановительной, активности красителя, иммобилизованного в фосфолипидном слое.

На следующем рисунке 6 представлен жВИМС масс-спектр отрицательных ионов того же образца  $CF_3\text{-iPhe}$  в ДПФХ. Из данного спектра следует, что группу пиков красителя  $[M^+ - H]^-$ ,  $[M^+]^\bullet$ ,  $[M^+ + H]^-$  можно наблюдать и в режиме отрицательных ионов. Наибольший по массе пик  $[M-14]^-$ ,  $m/z$  720, соответствует, по всей видимости,dealкилированию ДПФХ. В области малых масс характеристическими фрагментами ДПФХ являются остаток пальмитиновой кислоты  $F_1^-$ ,  $m/z$  255, а также фрагменты с  $m/z$  79, 97.

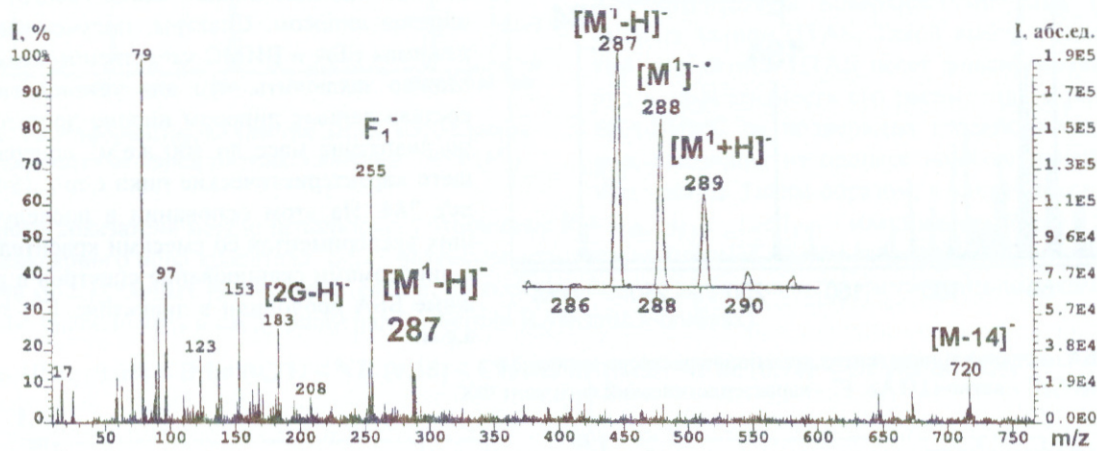


Рис. 6. ВИМС масс-спектр отрицательных ионов смеси ДПФХ (M) с красителем  $CF_3\text{-iPhe}$  ( $M^1$ ) в глицериновой (G) матрице. На вставке показан увеличенный фрагмент спектра, содержащий группу пиков молекулярного иона красителя.  $F_1^-$  - фрагмент ДПФХ, соответствующий остатку пальмитиновой кислоты.

Затем были изучены масс-спектры липосом, построенных из ФХ и ЦТАБ. На рис. 7 приведены ВИМС масс-спектры положительных и отрицательных ионов липосом в глицериновой матрице.

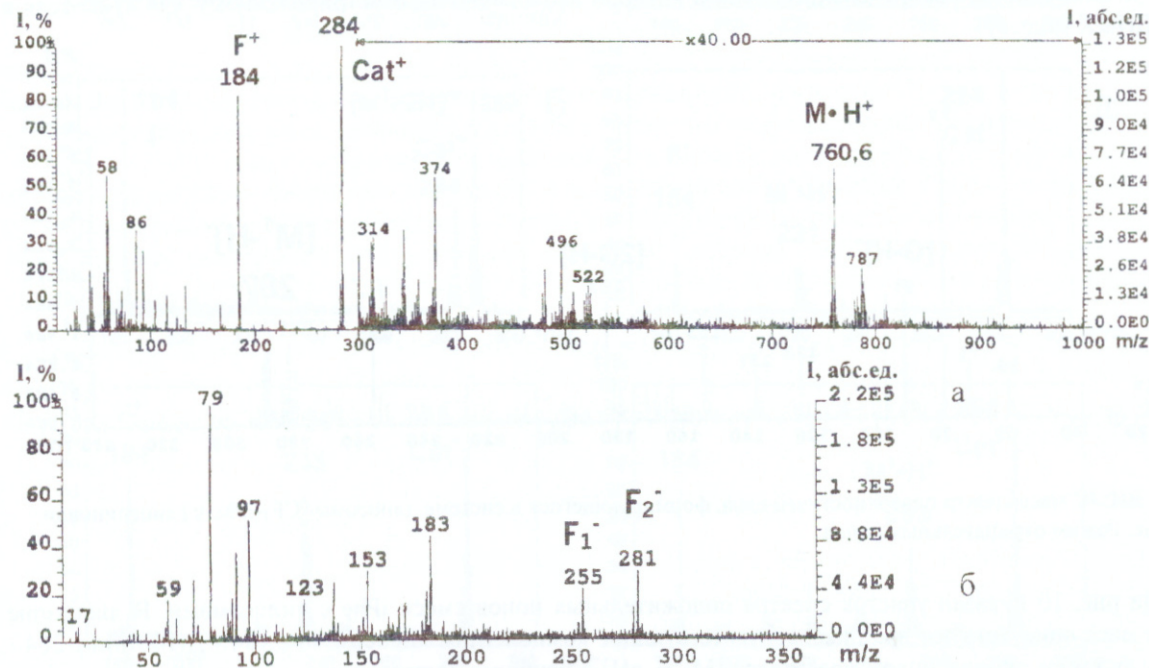


Рис. 7. ВИМС масс-спектры раствора липосом в глицерине: а) режим положительных ионов: M-ФХ.  $Cat^+$  - катион ЦТАБ; б) режим отрицательных ионов:  $F_1^-$  - остаток пальмитиновой кислоты;  $F_2^-$  - остаток олеиновой кислоты.

В масс-спектре положительных ионов (рис. 7,а) в области больших масс присутствует группа пиков, сопровождающих пик протонированной молекулы ФХ,  $m/z$  760,6 (с распределением, сходным с приведенным на рис. 3, б для ДПФХ). В области малых масс присутствуют два интенсивных пика, первый из которых, располагающийся на  $m/z$  184, является маркером фосфолипида, а пик с  $m/z$  284 соответствует катиону ЦТАБ. Таким образом, монослой, формирующийся на поверхности матрицы, содержит оба компонента липосом.

В масс-спектре отрицательных ионов (рис. 7,б) в области больших масс пики находятся на уровне шума, а в области малых масс присутствуют два характеристических фрагмента, соответствующих остаткам пальмитиновой,  $F_1^-$ ,  $m/z$  255, и олеиновой,  $F_2^-$ ,  $m/z$  281, жирных кислот, входящих в состав ФХ, а также ряд более мелких фрагментов.

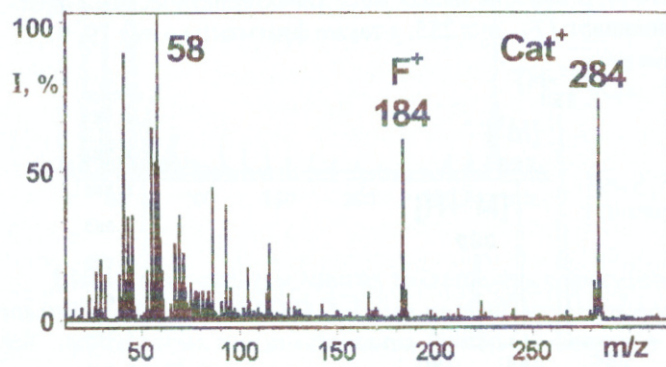


Рис. 8. ББА масс-спектр положительных ионов раствора липосом в глицерине.  $\text{Cat}^+$  - катион ЦТАБ,  $\text{F}^+$  - характеристический фрагмент ФХ.

Следующим шагом стало изучение смесей серии красителей-производных имидоффеназина с липосомами. На данном этапе сделано допущение, что эффективность включения красителей в оболочку липосом в объеме раствора коррелирует с эффективностью их включения в монослой, образующийся на поверхности жидкого раствора.

На рис. 9 представлен ВИМС масс-спектр отрицательных ионов смеси липосом с красителем  $\text{CF}_3\text{-iPhe}$  в глицериновой матрице. О наличии в системе ФХ свидетельствуют его диагностические фрагменты  $F_1^-$ ,  $m/z$  255 и  $F_2^-$ ,  $m/z$  281. Включение в поверхностный слой  $\text{CF}_3\text{-iPhe}$  подтверждается группой пиков молекулярного иона, распределение пиков в которой аналогично зарегистрированному для красителя в слое ДПФХ (рис. 6).

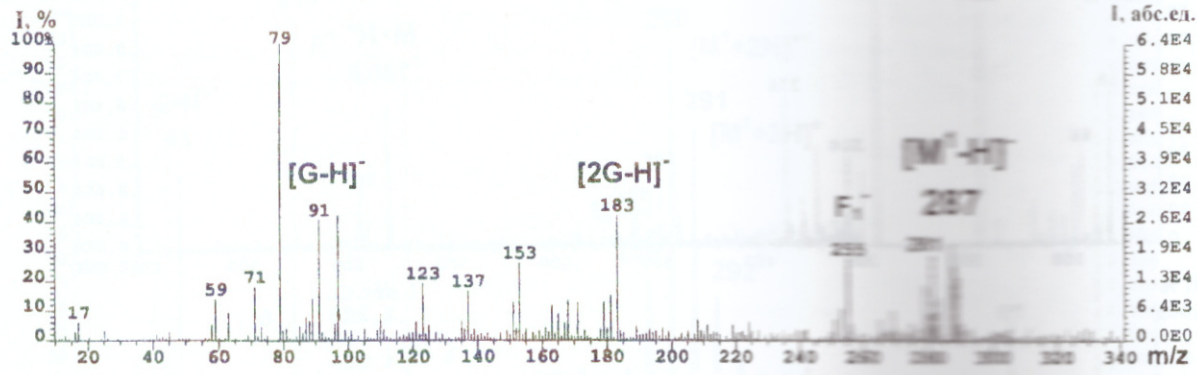


Рис. 9. ВИМС масс-спектр поверхностного слоя, формирующегося в системе липосомы- $\text{CF}_3\text{-iPhe}$  в глицериновой матрице. Режим отрицательных ионов.

На рис. 10 показан участок спектра положительных ионов смеси iPhe с липосомами. В диапазоне малых масс присутствуют два пика, соответствующие компонентам липосом:  $\text{F}^+$  - ДПФХ,  $m/z$  284 - ЦТАБ, а также группа пиков красителя,  $[\text{M}^+ + \text{nH}]^+$ , наиболее интенсивным из которых является пик  $[\text{M}^+ + 2\text{H}]^{2+}$ ,  $m/z$  222. Опять таки, основные, необходимые для установления состава системы, пики содержатся в диапазоне малых масс до 300 а.е.

На рис. 8 показан участок ББА масс-спектра положительных ионов этого же образца липосом. Спектры, полученные в режимах ББА и ВИМС качественно схожи. Можно заключить, что для установления состава данных липосом вполне достаточно диапазона масс до 300 а.е., содержащего характеристические пики с  $m/z$  184 и  $m/z$  284. На этом основании в последующих экспериментах со смесями красителей с липосомами сканирование спектров в режиме ББА проводили в диапазоне 170-300 а.е.

## Возможности метода вторично-ионной масс-спектрометрии ...

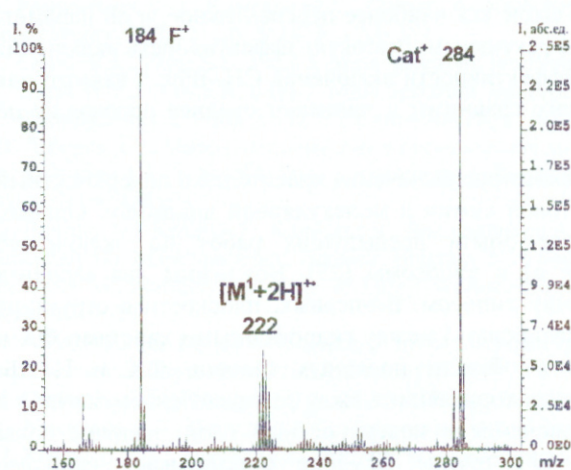


Рис. 10. Информативный участок ВИМС масс-спектра положительных ионов системы липосомы – iPhe (M<sup>1</sup>).

На рис. 11 представлена серия ББА масс-спектров положительных ионов смеси липосом с красителями – производными имидазофеназина и, для сравнения, с феназином и нейтральным красным (NR). Анализ спектров показывает, что все они содержат пики, соответствующие красителям, однако относительные интенсивности этих пиков различаются для разных красителей.

Такая картина указывает на возможность включения всех красителей в поверхностный слой, однако, с различной эффективностью. Для количественной оценки эффективности включения красителя в поверхностный слой можно выбрать катион ЦТАБ. Такой выбор обусловлен тем, что катион ЦТАБ несет фиксированный заряд и эффективность его распыления в условиях ББА/ВИМС не подвержена воздействию факторов, влияющих на процесс ионизации нейтральных частиц. Таким образом, в качестве количественного показателя можно использовать отношение  $R = I_{[M]} / I_{Cat^+}$ , где  $I_{[M]}$  – максимальный пик в пакете молекулярного иона красителя,  $I_{Cat^+}$  – интенсивность пика катиона ЦТАБ. По увеличению интенсивности пиков молекулярных ионов красителей и, по всей видимости, эффективности иммобилизации, красители можно расположить в следующий ряд (величина R указана в скобках):

n-iPhe (0,08) < iPhe (0,21) < NR (0,38) < CH<sub>3</sub>-iPhe (0,62) < Phe (0,91) < CF<sub>3</sub>-iPhe (2,0)

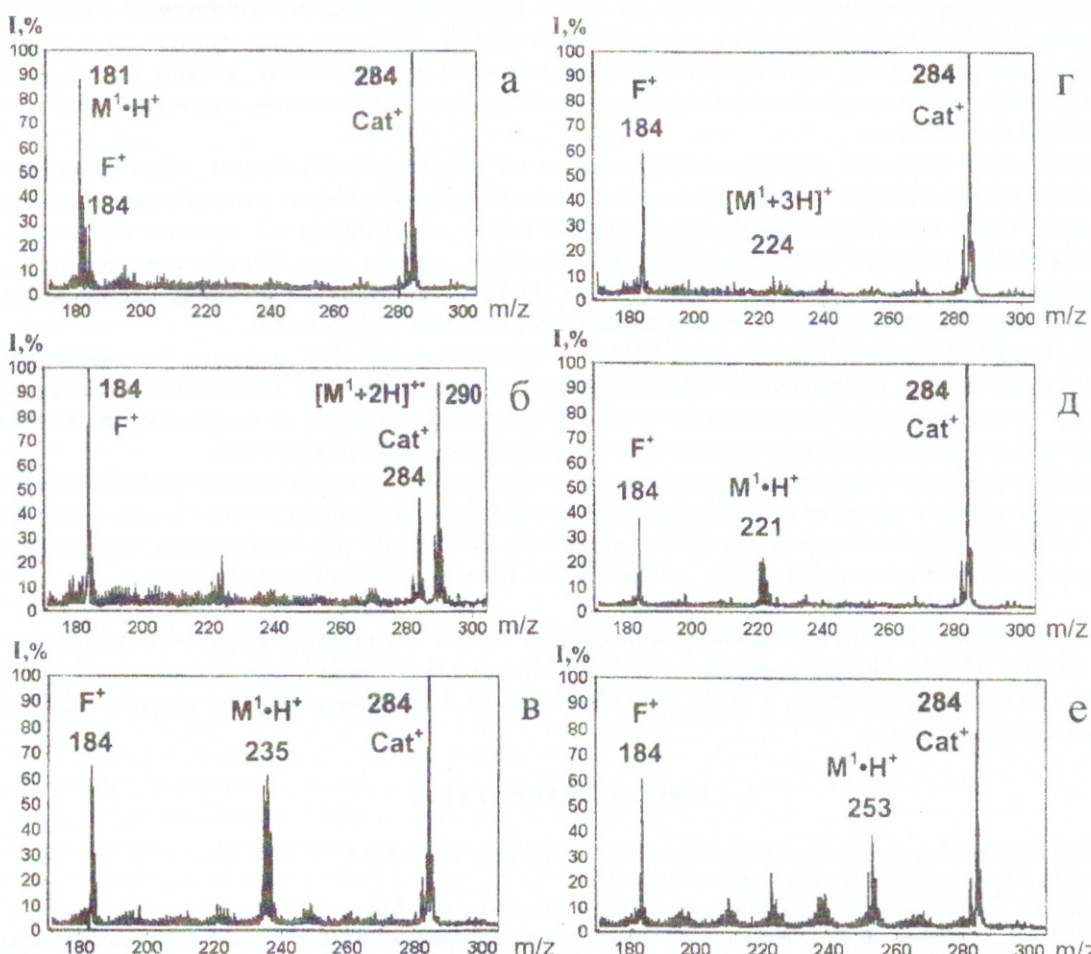


Рис. 11. ББА масс-спектры поверхности глицериновой матрицы в системе липосомы – красители: а) феназин; б) CF<sub>3</sub>-iPhe; в) CH<sub>3</sub>-iPhe; г) n-iPhe; д) iPhe; е) нейтральный красный.

Примечательно, что CF<sub>3</sub>-iPhe производное, отмеченное выше как наиболее перспективное, и по параметру включения в липидные слои оказывается наиболее эффективным. Высокую эффективность включения показывает также феназин, а самую низкую – n-iPhe. Эффективности включения CH<sub>3</sub>-iPhe и взятого для сравнения стандартного красителя нейтрального красного сравнимы и занимают среднее положение по отношению к другим красителям.

Для определения механизмов и структурных параметров включения красителей в поверхностный слой необходимо проведение расчетов методами квантовой химии и молекулярной динамики. Однако, некоторые предположения можно сделать на основе опыта предыдущих работ по включению биологически активных веществ в липидные слои [5, 6] и липосомы [25]. Возможны два варианта встраивания красителей в слои, моделирующие оболочку липосом. Во-первых, плоскостная структура молекул красителей позволяет им встраиваться (интеркалировать) между гидрофобными хвостами ФХ и ЦТАБ. Во-вторых, возможна адсорбция красителей в области полярных головок ФХ и ЦТАБ. Примечательно, что в данном случае наблюдается хорошая корреляция между распределением зарядов в молекулах красителей [17] и эффективностью их включения в поверхностный слой: наличие зоны повышенной плотности отрицательного заряда на CF<sub>3</sub> группе CF<sub>3</sub>-iPhe обеспечивает наиболее эффективное взаимодействие этого производного с положительно заряженной (за счет катионов ЦТАБ) оболочкой липосом.

## ВЫВОДЫ

Рассмотрена методология контроля иммобилизации красителей в липидных слоях и липосомах с использованием возможностей метода вторично-эмиссионной масс-спектрометрии в его модификациях ББА и жВИМС. Возможность использования данного метода основывается на свойстве липидов и ПАВ формировать самособирающийся монослой на поверхности жидкой матрицы, доступной для воздействия первичного ионного пучка. Поскольку более глубокие слои раствора в значительной степени экранируются от распыления поверхностной пленкой, то состав вторичных ионов, регистрируемых в масс-спектрах, отражает состав преимущественно поверхностной пленки. В связи с этим, критерием успешности включения (иммобилизации) красителей в липидный монослой на поверхности жидкой матрицы можно считать одновременное присутствие во вторично-ионных масс-спектрах пиков, соответствующих липидам или ПАВ и красителям.

Предлагается методика детектирования липидов по их низкомолекулярным характеристическим фрагментам, которую можно внедрять на доступных аналитических приборах с ограниченным массовым диапазоном. Таким характеристическим фрагментным ионом для ДПФХ и ФХ является ион с m/z 184, соответствующий полярной головке фосфолипида. Показано, что для масс-спектрометрического исследования включения красителей в слой смеси ФХ и ЦТАБ, моделирующей оболочку одного из видов липосом, достаточно сканирования спектров в массовом диапазоне 170–300 а.е.и.

ББА и жВИМС исследование смеси ДПФХ с красителем CF<sub>3</sub>-iPhe показало его эффективную иммобилизацию в слое фосфолипида. Совпадение распределения пиков в характеристической группе [M<sup>+</sup> + nH]<sup>n</sup> в спектрах иммобилизованного и чистого красителя указывает на сохранение функциональной, в данном случае восстановительной, активности иммобилизованного красителя.

Приложения данной методики к исследованию иммобилизации красителей имидазофеназинового ряда, перспективных в качестве медиаторных красителей в биосенсорах на глюкозу, в слое смеси ФХ и ЦТАБ, моделирующем оболочку липосом, позволило построить ряд повышения эффективности включения различных красителей в слой: n-iPhe < iPhe < NR < CH<sub>3</sub>-iPhe < Phe < CF<sub>3</sub>-iPhe.

**Благодарности:** Работа выполнена при поддержке гранта Украинского Научно-Технологического Центра (УНТЦ #2155). Авторы выражают благодарность д-ру А. Гомори и д-ру К. Векею за помощь в получении ВИМС масс-спектров, а также д-ру Макитруку В.Л. за любезно предоставленные красители имидазофеназинового ряда.

## СПИСОК ЛИТЕРАТУРЫ

1. Эггинс Б. Химические и биологические сенсоры. М.: Техносфера. 2005. 336 с.
2. Kasemo B. // Surf. Sci. 2002. V. 500. P. 656-677.
3. Черепин В.Т. Ионный микрозондовый анализ. К.: Наукова думка. 1992. 344 с.
4. Benninghoven A., Rudenauer F.G., Werner H.W. Secondary ion mass spectrometry: basic concepts, instrumental aspects, applications and trends. New York: Wiley. 1987. 1226 p.
5. Пашинская В.А., Косевич М.В., Гомори А., Векей К., Корзовская О.В., Лисецкий Л.Н., Благой Ю.П. // Вісник Харківського університету. Біофізичний вісник. 1999. N 450. Вип. 2. С. 59-62.

## Возможности метода вторично-ионной масс-спектрометрии ...

6. Pashynskaya V.A., Kosevich M.V., Gomory A., Vashchenko O.V., Lisetski L.N. // Rapid Communications in Mass Spectrometry. 2002. V. 16. N 18. P. 1706-1713.
7. Ligon W.V., Dorn S.B. // Int. J. Mass Spectrom. Ion Proc. 1986. V. 78. P. 99-113.
8. Ligon W.V., Dorn S.B. // Int. J. Mass Spectrom. Ion Proc. 1984. V. 57. P. 75-90.
9. Benninghoven A. // Int. J. Mass Spectrom Ion Phys. 1983. V. 53. P. 85-99.
10. Лебедев А.Т. Масс-спектрометрия в органической химии. М.: БИНОМ. Лаборатория знаний. 2003. 493 с.
11. Kaltashov I.A., Eyles S.J. Mass Spectrometry in Biophysics: Conformation and Dynamics of Biomolecules. New York: Wiley. 2005. 458 p.
12. Bourdos N., Kollmer F., Kamische R., Benninghoven A., Galla H.-J., Sieber M. // SIMS XII. Proc. 12<sup>th</sup> Int. Conf. on Secondary Ion Mass Spectrom., Brussels, Belgium, 5-10 Sept. 1999. Amsterdam: Elsevier. 2000. P. 923-926.
13. Henry M., Bertrand P. // Abstr. 4<sup>th</sup> Europ. Workshop on Secondary Ion Mass Spectrom.. 26-29 Sept. 2004. Munster, Germany. P. 26.
14. AVANTI Polar Lipids Inc. Catalog (<http://www.avantilipids.com/Catalog.asp>), Product Number: 840051, <http://www.avantilipids.com/ProductData.asp?n=840051>.
15. Gorbenko G.P., Domanov Y.A. // J. Biol. Phys. Chem. 2005. V. 5. P. 13-19.
16. Макитрук В.Л., Шаламай А.С., Кондратюк И.В. // Биополимеры и клетка. 1997. N 13. C. 453-459.
17. Kosevich M.V., Boryak O.A., Orlov V.V., Shelkovsky V.S., Chagovets V.V., Stepanian S.G., Karachevtsev V.A., Adamowisz L. // J. Mass Spectrom. 2006. V. 41. N 1. P. 113-123.
18. Bentz B.L., Gale P.J. // Int. J. Mass Spectrom. Ion Proc. 1987. V. 78. P. 115-130.
19. Gale P.J., Bentz B.L., Chait B.T., Field F.H., Cotter R.J. // Analytical Chemistry. 1986. V. 58. P. 1070-1076.
20. Kyranos J.N., Vouros P. // Biomed. Envir. Mass Spectrom. 1990. V. 19. P. 628-634.
21. Ohashi Y., Itoh Y. // Current Organic Chemistry. 2003. V. 7. P. 1605-1611.
22. Pelzer G., De Pauw E., Dao V.D., Marient J. // J. Phys. Chem.. 1984. V. 88. P. 5065-5068.
23. Cerny R.L., Gross M.L. // Analytical Chemistry. 1985. V. 57. P. 1160-1163.
24. Ryazanova O.A., Zozulya V.N., Voloshin I.M., Karachevtsev V.A., Makitruk V.L., Stepanian S.G. // Spectrochimica Acta. Part A. Molecular and Biomolecular Spectroscopy. 2004. V. 60. P. 2005-2011.
25. Liu P., Finashin A.V., Domanov Ye. A., Gorbenko G.P. // Visnyk Kharkiv's'koho Natsional'noho Universytetu im. V.N.Karazina. Biophysical Bulletin. 2005 (in press)